

(19) 日本国特許庁(JP)

(12) 特 許 公 報(B2)

(11) 特許番号

特許第4906732号
(P4906732)

(45) 発行日 平成24年3月28日(2012.3.28)

(24) 登録日 平成24年1月20日(2012.1.20)

(51) Int.Cl. F I
 HO4K 1/00 (2006.01) HO4K 1/00 Z
 HO4L 9/20 (2006.01) HO4L 9/00 653

請求項の数 26 (全 23 頁)

(21) 出願番号	特願2007-540948 (P2007-540948)	(73) 特許権者	000005821
(86) (22) 出願日	平成18年10月13日(2006.10.13)		パナソニック株式会社
(86) 国際出願番号	PCT/JP2006/320482		大阪府門真市大字門真1006番地
(87) 国際公開番号	W02007/046302	(74) 代理人	110001276
(87) 国際公開日	平成19年4月26日(2007.4.26)		特許業務法人 小笠原特許事務所
審査請求日	平成21年8月31日(2009.8.31)	(72) 発明者	佐田 友和
(31) 優先権主張番号	特願2005-302101 (P2005-302101)		大阪府門真市大字門真1006番地 松下
(32) 優先日	平成17年10月17日(2005.10.17)		電器産業株式会社内
(33) 優先権主張国	日本国(JP)	(72) 発明者	布施 優
			大阪府門真市大字門真1006番地 松下
			電器産業株式会社内
		(72) 発明者	古澤 佐登志
			大阪府門真市大字門真1006番地 松下
			電器産業株式会社内

最終頁に続く

(54) 【発明の名称】 データ送信装置、データ受信装置、及びデータ通信装置

(57) 【特許請求の範囲】

【請求項1】

暗号通信を行うデータ送信装置であって、
 予め定められた所定の鍵情報と情報データとを入力し、信号レベルが略乱数的に変化する多値信号を発生する多値符号化部と、
 前記多値信号に基づいて、所定の変調形式の変調信号を生成する変調部とを備え、
 前記多値符号化部は、
 前記鍵情報から信号レベルが略乱数的に変化する多値符号列を発生する多値符号発生部と、
 所定の処理に従って、前記多値符号列と前記情報データとを合成し、前記多値符号列と前記情報データとの組み合わせに対応したレベルを有する多値信号を生成する多値処理部とを含み、
 前記多値符号発生部は、
 前記鍵情報に基づいて2値乱数列を生成する乱数列生成部と、
 所定の符号化則に従って、前記2値乱数列から前記多値符号列を生成する多値変換部とを有し、
 前記所定の符号化則は、所定長の2値ビット系列を前記多値符号列の各多値レベルに一意に対応させ、かつ任意の隣接する多値レベルに割当てする2値ビット系列間の差異ビット数(ハミング距離)が、当該2値ビット系列長、あるいは当該2値ビット系列長より1減じた値となるような規則であることを特徴とする、データ送信装置。

10

20

【請求項 2】

前記多値符号発生部は、前記乱数列生成部が生成した 2 値乱数列に対して、所定の深さのビットインターリーブを行うインターリーブ部をさらに有することを特徴とする、請求項 1 に記載のデータ送信装置。

【請求項 3】

前記ビットインターリーブのコラム数は、前記乱数列生成部が生成した 2 値乱数列の線形複雑度の 2 倍以上であることを特徴とする、請求項 2 に記載のデータ送信装置。

【請求項 4】

前記ビットインターリーブの行数は、各多値レベルに対して割当てられる 2 値ビット系列長以上であることを特徴とする、請求項 2 に記載のデータ送信装置。

10

【請求項 5】

前記各多値レベルに対応付けられる 2 値ビット系列長が 2 以上であることを特徴とする、請求項 1 ~ 4 のいずれかに記載のデータ送信装置。

【請求項 6】

前記多値レベルの総数が 2 のべき乗であることを特徴とする、請求項 1 ~ 5 のいずれかに記載のデータ送信装置。

【請求項 7】

前記全ての多値レベルに対して同じ系列長の 2 値ビット系列を割当てられることを特徴とする、請求項 1 ~ 6 のいずれかに記載のデータ送信装置。

【請求項 8】

前記多値レベルは、振幅、周波数、位相のいずれかの領域、もしくはいずれかの組み合わせで表現されることを特徴とする、請求項 1 ~ 7 のいずれかに記載のデータ送信装置。

20

【請求項 9】

暗号通信を行うデータ受信装置であって、
 所定の変調形式の変調信号を復調し、多値信号を出力する復調部と、
 予め定められた所定の鍵情報と前記多値信号とを入力し、情報データを出力する多値復号化部とを備え、
 前記多値復号化部は、

前記鍵情報から信号レベルが略乱数的に変化する多値符号列を発生する多値符号発生部と、

30

前記多値符号列に基づいて前記多値信号を識別し、前記情報データを出力する多値識別部とを含み、

前記多値符号発生部は、

前記鍵情報に基づいて 2 値乱数列を生成する乱数列生成部と、

所定の符号化則に従って、前記 2 値乱数列から前記多値符号列を生成する多値変換部とを有し、

前記所定の符号化則は、所定長の 2 値ビット系列を前記多値符号列の各多値レベルに一意に対応させ、かつ任意の隣接する多値レベルに割当てられる 2 値ビット系列間の差異ビット数（ハミング距離）が、当該 2 値ビット系列長、あるいは当該 2 値ビット系列長より 1 減じた値となるような規則であることを特徴とする、データ受信装置。

40

【請求項 10】

前記多値符号発生部は、前記多値符号発生部は、前記乱数列生成部が生成した 2 値乱数列に対して、所定の深さのビットインターリーブを行うインターリーブ部をさらに有することを特徴とする、請求項 9 に記載のデータ送信装置。

【請求項 11】

前記ビットインターリーブのコラム数は、前記乱数列生成部が生成した 2 値乱数列の線形複雑度の 2 倍以上であることを特徴とする、請求項 10 に記載のデータ受信装置。

【請求項 12】

前記ビットインターリーブの行数は、各多値レベルに対して割当てられる 2 値ビット系列長以上であることを特徴とする、請求項 10 に記載のデータ受信装置。

50

【請求項 13】

前記各多値レベルに対応付けられる2値ビット系列長が2以上であることを特徴とする、請求項10～12のいずれかに記載のデータ受信装置。

【請求項 14】

前記多値レベルの総数が2のべき乗であることを特徴とする、請求項10～13のいずれかに記載のデータ受信装置。

【請求項 15】

前記全ての多値レベルに対して同じ系列長の2値ビット系列を割当てられることを特徴とする、請求項10～14のいずれかに記載のデータ受信装置。

【請求項 16】

前記多値レベルは、振幅、周波数、位相のいずれかの領域、もしくはいずれかの組み合わせで表現されることを特徴とする、請求項10～15のいずれかに記載のデータ受信装置。

【請求項 17】

暗号通信を行うデータ通信装置であって、

前記データ通信装置は、データ送信装置と、データ受信装置とを備え、

前記データ送信装置は、

予め定められた所定の鍵情報と情報データとを入力し、信号レベルが略乱数的に変化する多値信号を発生する多値符号化部と、

前記多値信号に基づいて、所定の変調形式の変調信号を生成する変調部とを備え、

前記多値符号化部は、

前記鍵情報から信号レベルが略乱数的に変化する多値符号列を発生する第1の多値符号発生部と、

所定の処理に従って、前記多値符号列と前記情報データとを合成し、前記多値符号列と前記情報データとの組み合わせに対応したレベルを有する多値信号を生成する多値処理部とを含み、

前記第1の多値符号発生部は、

前記鍵情報に基づいて2値乱数列を生成する第1の乱数列生成部と、

第1の符号化則に従って、前記2値乱数列から前記多値符号列を生成する第1の多値変換部とを有し、

前記第1の符号化則は、所定長の2値ビット系列を前記多値符号列の各多値レベルに一意に対応させ、かつ任意の隣接する多値レベルに割当てる2値ビット系列間の差異ビット数(ハミング距離)が、当該2値ビット系列長、あるいは当該2値ビット系列長より1減じた値となるような規則であり、

前記データ受信装置は、

所定の変調形式の変調信号を復調し、多値信号を出力する復調部と、

予め定められた所定の鍵情報と前記多値信号とを入力し、情報データを出力する多値復号化部とを備え、

前記多値復号化部は、

前記鍵情報から信号レベルが略乱数的に変化する多値符号列を発生する第2の多値符号発生部と、

前記多値符号列に基づいて前記多値信号を識別し、前記情報データを出力する多値識別部とを含み、

前記第2の多値符号発生部は、

前記鍵情報に基づいて2値乱数列を生成する第2の乱数列生成部と、

第2の符号化則に従って、前記2値乱数列から前記多値符号列を生成する第2の多値変換部とを有し、

前記第2の符号化則は、所定長の2値ビット系列を前記多値符号列の各多値レベルに一意に対応させ、かつ任意の隣接する多値レベルに割当てる2値ビット系列間の差異ビット数(ハミング距離)が、当該2値ビット系列長、あるいは当該2値ビット系列長より1

10

20

30

40

50

減じた値となるような規則であることを特徴とする、データ通信装置。

【請求項 18】

前記第 1 の多値符号発生部は、前記第 1 の乱数列生成部が生成した 2 値乱数列に対して、所定の深さのビットインターリーブを行うインターリーブ部をさらに有し、

前記第 2 の多値符号発生部は、前記第 2 の乱数列生成部が生成した 2 値乱数列に対して、所定の深さのビットインターリーブを行うインターリーブ部をさらに有することを特徴とする、請求項 17 に記載のデータ通信装置。

【請求項 19】

暗号通信を行うための多値符号発生装置であって、

所定の鍵情報に基づいて 2 値乱数列を生成する乱数列生成部と、

所定の符号化則に従って、前記 2 値乱数列から前記多値符号列を生成する多値変換部とを有し、

前記所定の符号化則は、所定長の 2 値ビット系列を前記多値符号列の各多値レベルに一意に対応させ、かつ任意の隣接する多値レベルに割当てする 2 値ビット系列間の差異ビット数（ハミング距離）が、当該 2 値ビット系列長、あるいは当該 2 値ビット系列長より 1 減じた値となるような規則であることを特徴とする、多値符号発生装置。

【請求項 20】

前記多値符号発生部は、前記乱数列生成部が生成した 2 値乱数列に対して、所定の深さのビットインターリーブを行うインターリーブ部をさらに有することを特徴とする、請求項 19 に記載の多値符号発生装置。

【請求項 21】

前記ビットインターリーブのコラム数は、前記乱数列生成部が生成した 2 値乱数列の線形複雑度の 2 倍以上であることを特徴とする、請求項 20 に記載の多値符号発生装置。

【請求項 22】

前記ビットインターリーブの行数は、各多値レベルに対して割当てられる 2 値ビット系列長以上であることを特徴とする、請求項 20 に記載の多値符号発生装置。

【請求項 23】

前記各多値レベルに対応付けられる 2 値ビット系列長が 2 以上であることを特徴とする、請求項 19 ~ 22 のいずれかに記載の多値符号発生装置。

【請求項 24】

前記多値レベルの総数が 2 のべき乗であることを特徴とする、請求項 19 ~ 23 のいずれかに記載の多値符号発生装置。

【請求項 25】

前記全ての多値レベルに対して同じ系列長の 2 値ビット系列を割当てられることを特徴とする、請求項 19 ~ 24 のいずれかに記載の多値符号発生装置。

【請求項 26】

前記多値レベルは、振幅、周波数、位相のいずれかの領域、もしくはいずれかの組み合わせで表現されることを特徴とする、請求項 19 ~ 25 のいずれかに記載の多値符号発生装置。

【発明の詳細な説明】

【技術分野】

【0001】

本発明は、第 3 者による不法な盗聴・傍受を防ぐ暗号通信を行う装置に関する。より特定のには、正規の送受信者間で、特定の符号化／復号化（変調／復調）方式を選択・設定してデータ通信を行う装置に関する。

【背景技術】

【0002】

従来、特定者同志でのみ通信を行うためには、送信／受信間で符号化／復号化のための元情報（鍵情報）を共有し、当該情報に基づいて、伝送すべき情報データ（平文）を数学的に演算／逆演算することにより秘密通信を実現する構成が採用されている。図 20 は、

10

20

30

40

50

当該構成に基づく、従来のデータ送信装置の構成を示すブロック図である。図20において、従来のデータ通信装置は、データ送信装置90001と、伝送路913と、データ受信装置90002とで構成される。データ送信装置90001は、符号化部911と、変調部912とからなる。データ受信装置90002は、復調部914と、復号化部915とからなる。ここで、符号化部911に情報データ90と第1の鍵情報91とを入力し、復号化部915に第2の鍵情報96を入力すると、復号化部915から情報データ98が出力される。さらに、第3者による盗聴行為を説明するため、図20は、盗聴者復調部916と、盗聴者復号化部917とからなる盗聴者データ受信装置90003を含むものとする。盗聴者復号化部917には、第3の鍵情報99が入力される。以下に、図20を参照しながら、従来のデータ通信装置の動作を説明する。

10

【0003】

データ送信装置90001において、符号化部911は、情報データ90を、第1の鍵情報91に基づいて符号化(暗号化)する。変調部912は、符号化部911で暗号化された情報データを所定の変調形式の変調信号94に変換して伝送路913に送出する。データ受信装置90002において、復調部914は、伝送路913を介して伝送されてきた変調信号94を所定の復調方式で復調し、暗号化された情報データを出力する。復号化部915は、符号化部911との間で共有した第1の鍵情報91と同一の第2の鍵情報96に基づいて、暗号化された情報データを復号化(暗号解読)して、元の情報データ98を出力する。

【0004】

20

盗聴者データ受信装置90003は、データ送信装置90001とデータ受信装置90002との間で伝送される変調信号(情報データ)を盗聴するに当たり、盗聴者復調部916が、伝送路913を伝搬する変調信号の一部を分岐、入力し、所定の復調方式で復調し、盗聴者復号化部917が第3の鍵情報99に基づいて復号化を試みる。ここで、盗聴者復号化部917は、符号化部911との間で鍵情報を共有していないものとする。即ち、盗聴者復号化部917は、第1の鍵情報91と異なる第3の鍵情報99に基づき復号化を行うため、元の情報データを正しく再生することができない。

【0005】

このような数学的な演算に基づく数理暗号(または、計算暗号、ソフトウェア暗号とも呼ばれる)技術は、例えば、特許文献1の公報にも記されているように、アクセスシステム等に適用できる。即ち、1つの光送信器から送出された光信号を光カプラで分岐し、複数の光加入者宅の光受信器にそれぞれ配信するPON(Passive Optical Network)構成では、各光受信器に、所望の光信号以外の他加入者に向けた信号が入力される。そこで、互いに異なる鍵情報を用いて、加入者毎の情報データを暗号化することによって、互いの情報の漏洩・盗聴を防ぎ、安全なデータ通信を実現することができる。

30

【特許文献1】特開平9-205420号公報

【非特許文献1】石橋啓一郎他訳、「暗号とネットワークセキュリティ：理論と実際」、ピアソン・エデュケーション、2001年

【非特許文献2】安達真弓他訳、「暗号技術大全」、ソフトバンクパブリッシング、2003年

40

【発明の開示】

【発明が解決しようとする課題】

【0006】

しかしながら、数理暗号技術に基づく従来のデータ通信装置では、盗聴者は、たとえ鍵情報を共有しなくとも、暗号文(変調信号、または暗号化された情報データ)に対して、考え得る全ての組み合わせの鍵情報を用いた演算(総当たり攻撃)や、特殊な解析アルゴリズムの適用を試みれば、原理的に暗号解読が可能である。特に、近年の計算機の処理速度向上は目覚ましく、将来的に量子コンピュータ等の新しい原理による計算機が実現されれば、有限の時間内で、暗号文を盗聴できるという課題を有していた。

50

【 0 0 0 7 】

それ故に、本発明の目的は、盗聴者が暗号文の解析に要する時間を著しく増大させ、秘匿性の高いデータ通信装置を提供することである。

【 課題を解決するための手段 】

【 0 0 0 8 】

本発明は、暗号化通信を行うデータ送信装置に向けられている。そして上記目的を達成させるために、本発明のデータ送信装置は、予め定められた所定の鍵情報と情報データとを入力し、信号レベルが略乱数的に変化する多値信号を発生する多値符号化部と、多値信号に基づいて、所定の変調形式の変調信号を生成する変調部とを備える。多値符号化部は、鍵情報から信号レベルが略乱数的に変化する多値符号列を発生する多値符号発生部と、所定の処理に従って、多値符号列と情報データとを合成し、多値符号列と情報データとの組み合わせに対応したレベルを有する多値信号を生成する多値処理部とを含む。多値符号発生部は、鍵情報に基づいて2値乱数列を生成する乱数列生成部と、所定の符号化則に従って、2値乱数列から多値符号列を生成する多値変換部とを有する。所定の符号化則は、所定長の2値ビット系列を多値符号列の各多値レベルに一意に対応させ、かつ任意の隣接する多値レベルに割当てられる2値ビット系列間の差異ビット数（ハミング距離）が、当該2値ビット系列長、あるいは当該2値ビット系列長より1減じた値となるような規則である。

10

【 0 0 0 9 】

好ましくは、多値符号発生部は、乱数列生成部が生成した2値乱数列に対して、所定の深さのビットインターリーブを行うインターリーブ部をさらに有する

20

【 0 0 1 0 】

好ましくは、ビットインターリーブのコラム数は、乱数列生成部が生成した2値乱数列の線形複雑度の2倍以上である。また、ビットインターリーブの行数は、各多値レベルに対して割当てられる2値ビット系列長以上である。

【 0 0 1 1 】

好ましくは、各多値レベルに対応付けられる2値ビット系列長が2以上である。また、多値レベルの総数が2のべき乗である。また、全ての多値レベルに対して同じ系列長の2値ビット系列を割当てられる。また、多値レベルは、振幅、周波数、位相のいずれかの領域、もしくはいずれかの組み合わせで表現される。

30

【 0 0 1 2 】

また、本発明は、暗号通信を行うデータ受信装置に向けられている。そして上記目的を達成させるために、本発明のデータ受信装置は、所定の变調形式の変調信号を復調し、多値信号を出力する復調部と、予め定められた所定の鍵情報と多値信号とを入力し、情報データを出力する多値復号化部とを備える。多値復号化部は、鍵情報から信号レベルが略乱数的に変化する多値符号列を発生する多値符号発生部と、多値符号列に基づいて多値信号を識別し、情報データを出力する多値識別部とを含む。多値符号発生部は、鍵情報に基づいて2値乱数列を生成する乱数列生成部と、所定の符号化則に従って、2値乱数列から多値符号列を生成する多値変換部とを有する。所定の符号化則は、所定長の2値ビット系列を多値符号列の各多値レベルに一意に対応させ、かつ任意の隣接する多値レベルに割当てられる2値ビット系列間の差異ビット数（ハミング距離）が、当該2値ビット系列長、あるいは当該2値ビット系列長より1減じた値となるような規則である。

40

【 0 0 1 3 】

好ましくは、多値符号発生部は、多値符号発生部は、乱数列生成部が生成した2値乱数列に対して、所定の深さのビットインターリーブを行うインターリーブ部をさらに有する。

【 0 0 1 4 】

好ましくは、ビットインターリーブのコラム数は、乱数列生成部が生成した2値乱数列の線形複雑度の2倍以上である。また、ビットインターリーブの行数は、各多値レベルに対して割当てられる2値ビット系列長以上である。

【 0 0 1 5 】

50

好ましくは、各多値レベルに対応付けられる2値ビット系列長が2以上である。また、多値レベルの総数が2のべき乗である。また、全ての多値レベルに対して同じ系列長の2値ビット系列を割当てられる。また、多値レベルは、振幅、周波数、位相のいずれかの領域、もしくはいずれかの組み合わせで表現される。

【0016】

また、本発明は、暗号通信を行うデータ通信装置にも向けられている。そして上記目的を達成させるために、本発明のデータ通信装置は、データ通信装置は、データ送信装置と、データ受信装置とを備える。データ送信装置は、予め定められた所定の鍵情報と情報データとを入力し、信号レベルが略乱数的に変化する多値信号を発生する多値符号化部と、多値信号に基づいて、所定の変調形式の変調信号を生成する変調部とを備える。多値符号化部は、鍵情報から信号レベルが略乱数的に変化する多値符号列を発生する第1の多値符号発生部と、所定の処理に従って、多値符号列と情報データとを合成し、多値符号列と情報データとの組み合わせに対応したレベルを有する多値信号を生成する多値処理部を含む。第1の多値符号発生部は、鍵情報に基づいて2値乱数列を生成する第1の乱数列生成部と、第1の符号化則に従って、2値乱数列から多値符号列を生成する第1の多値変換部とを有する。第1の符号化則は、所定長の2値ビット系列を多値符号列の各多値レベルに一意に対応させ、かつ任意の隣接する多値レベルに割当てるとる2値ビット系列間の差異ビット数(ハミング距離)が、当該2値ビット系列長、あるいは当該2値ビット系列長より1減じた値となるような規則である。データ受信装置は、所定の変調形式の変調信号を復調し、多値信号を出力する復調部と、予め定められた所定の鍵情報と多値信号とを入力し、情報データを出力する多値復号化部とを備える。多値復号化部は、鍵情報から信号レベルが略乱数的に変化する多値符号列を発生する第2の多値符号発生部と、多値符号列に基づいて多値信号を識別し、情報データを出力する多値識別部とを含む。第2の多値符号発生部は、鍵情報に基づいて2値乱数列を生成する第2の乱数列生成部と、第2の符号化則に従って、2値乱数列から多値符号列を生成する第2の多値変換部とを有する。第2の符号化則は、所定長の2値ビット系列を多値符号列の各多値レベルに一意に対応させ、かつ任意の隣接する多値レベルに割当てるとる2値ビット系列間の差異ビット数(ハミング距離)が、当該2値ビット系列長、あるいは当該2値ビット系列長より1減じた値となるような規則である。

【0017】

好ましくは、第1の多値符号発生部は、第1の乱数列生成部が生成した2値乱数列に対して、所定の深さのビットインターリーブを行うインターリーブ部をさらに有する。第2の多値符号発生部は、第2の乱数列生成部が生成した2値乱数列に対して、所定の深さのビットインターリーブを行うインターリーブ部をさらに有する。

【0018】

また、本発明は、暗号通信を行うための多値符号発生装置にも向けられている。そして上記目的を達成させるために、本発明の多値符号発生装置は、所定の鍵情報に基づいて2値乱数列を生成する乱数列生成部と、所定の符号化則に従って、2値乱数列から多値符号列を生成する多値変換部とを有する。所定の符号化則は、所定長の2値ビット系列を多値符号列の各多値レベルに一意に対応させ、かつ任意の隣接する多値レベルに割当てるとる2値ビット系列間の差異ビット数(ハミング距離)が、当該2値ビット系列長、あるいは当該2値ビット系列長より1減じた値となるような規則である

【0019】

好ましくは、多値符号発生部は、乱数列生成部が生成した2値乱数列に対して、所定の深さのビットインターリーブを行うインターリーブ部をさらに有する。

【0020】

好ましくは、ビットインターリーブのコラム数は、乱数列生成部が生成した2値乱数列の線形複雑度の2倍以上である。また、ビットインターリーブの行数は、各多値レベルに対して割当てられる2値ビット系列長以上である。

【0021】

好ましくは、各多値レベルに対応付けられる2値ビット系列長が2以上である。また、多値レベルの総数が2のべき乗である。また、全ての多値レベルに対して同じ系列長の2値ビット系列を割当てられる。また、多値レベルは、振幅、周波数、位相のいずれかの領域、もしくはいずれかの組み合わせで表現される。

【発明の効果】

【0022】

本発明のデータ通信装置は、鍵情報に基づいて情報データを多値信号に符号化・変調し、受信した多値信号を同一の鍵情報に基づいて復調・符号化し、多値信号の信号対雑音電力比を適正化することにより、暗号文の解析に要する時間を著しく増大させ、秘匿性の高いデータ通信装置を提供することができる。

10

【0023】

また、隣接多値レベルに割当てられる2値ビット系列のハミング距離を増加させることにより、盗聴者が受信した2値乱数列に対して、より多くの誤りを誘発できる。このため、2値乱数列を生成するのに必要な初期値(すなわち鍵情報)を盗聴者が特定することが極めて困難となり、多値信号の多値数が比較的少ない場合でも高い秘匿性を確保することが可能となる。

【発明を実施するための最良の形態】

【0024】

以下、本発明の実施形態について、図面を参照しながら説明する。

【0025】

20

(第1の実施形態)

図1は、本発明の第1の実施形態に係るデータ通信装置の構成を示すブロック図である。図1において、データ通信装置は、多値符号化部111と、変調部112と、伝送路110と、復調部211と、多値復号化部212とで構成される。多値符号化部111は、第1の多値符号発生部111aと、多値処理部111bとからなる。多値復号化部212は、第2の多値符号発生部212aと、多値識別部212bとからなる。また、多値符号化部111と変調部112とでデータ送信装置10101を構成し、復調部211と多値復号化部212とでデータ受信装置10201を構成する。伝送路110には、LANケーブルや同軸ケーブル等の金属路線や、光ファイバケーブル等の光導波路を用いることができる。また、伝送路110は、LANケーブル等の有線ケーブルに限られず、無線信号を伝搬する自由な空間であってもよい。なお、図2および図3に、変調部112から出力される変調信号波形を説明するための模式図を示す。以下に、第1の実施形態について、図2および図3を用いながら、その動作を説明する。

30

【0026】

第1の多値符号発生部111aは、予め定められた所定の第1の鍵情報11に基づいて、信号レベルが略乱数的に変化する多値符号列12(図2(b))を発生する。多値処理部111bは、多値符号列12と情報データ10(図2(a))とを入力し、所定の手順に従って両信号を合成し、当該信号レベルの組み合わせに対応したレベルを有する多値信号13(図2(c))を生成し、出力する。例えば、図2では、多値符号列12がタイムスロット $t_1/t_2/t_3/t_4$ に対して当該レベルが $c_1/c_5/c_3/c_4$ と変化し、これをバイアスレベルとして、情報データ10を加算することで、 $L_1/L_8/L_6/L_4$ と変化する多値信号13を生成する。ここで、図3に示すように、情報データ10の振幅を“情報振幅”、多値信号13の全振幅を“多値信号振幅”、各バイアスレベル(多値符号列12のレベル) $c_1/c_2/c_3/c_4/c_5$ に対応して、多値信号13が取り得るレベルの組(L_1, L_4)/(L_2, L_5)/(L_3, L_6)/(L_4, L_7)/(L_5, L_8)を、第1~第5の“基底”、多値信号13の最小信号点間距離を“ステップ幅”とそれぞれ呼称する。変調部112は、多値信号13を元データとして、所定の変調形式の変調信号14に変換して、伝送路110に送出する。

40

【0027】

復調部211は、伝送路110を介して伝送されてきた変調信号14を復調し、上述し

50

た多値信号15を再生する。第2の多値符号発生部212aは、第1の鍵情報11と同一の第2の鍵情報16を予め共有し、当該第2の鍵情報16に基づいて、多値符号列12に相当する多値符号列17を発生する。多値識別部212bは、多値符号列17を閾値として、多値信号15の識別(2値判定)を行い、情報データ18を再生する。ここで、変調部112と復調部211とが、伝送路110を介して送受信する所定の変調形式の変調信号14は、電磁波(電磁界)または光波を多値信号13で変調して得られるものである。

【0028】

なお、多値処理部111bにおける多値信号13の生成については、上述のように、多値符号列12と情報データ10の加算処理による方法以外に、情報データ10に従って、多値符号列12のレベルを振幅変調/制御する方法や、あるいは、両信号レベルの組み合わせに対応した多値信号レベルを予め記憶させたメモリから、両信号レベルに応じて逐次読み出す方法等、いかなる手順であっても構わない。

【0029】

図2および図3では、多値信号の多値数を“8”として表記したが、これに限定されるものではなく、それより大きくても小さくても良い。また、情報振幅を多値信号のステップ幅の3倍、もしくは整数倍として表記したが、いかなる奇数倍や偶数倍であっても良い。また、情報振幅は多値信号のステップ幅の整数倍でなくても構わない。さらに、これに関連して、図2および図3では、多値符号列の各レベル(各バイアスレベル)が、多値信号の各レベル間の略中心になるよう配置したが、これに限定されるものではなく、多値符号列の各レベルは、多値信号の各レベル間の略中心でなくても良いし、あるいは多値信号の各レベルに一致しても構わない。また、多値符号列と情報データとの変化レートが互いに等しく同期関係にあることを前提としたが、この限りではなく、一方の変化レートが他方より高速(または低速)であっても良いし、非同期であっても構わない。

【0030】

次に、第3者による、変調信号の盗聴動作について説明する。当該第3者は、正規の受信者が備えるデータ受信装置10201に準じた構成、もしくはさらに高性能なデータ受信装置(例えば、盗聴者データ受信装置)を用いて、変調信号を受信、解読することが想定される。盗聴者データ受信装置において、復調部(盗聴者復調部)は、変調信号を復調することにより、多値信号を再生する。しかし、多値復号化部(盗聴者多値復号化部)は、データ送信装置10101との間で第1の鍵情報11を共有しないため、データ受信装置10201のように、当該鍵情報から発生した多値符号列を基準とした多値信号の2値判定を行うことができない。このような場合に考え得る盗聴動作としては、多値信号の全レベルに対する識別を同時に行う方法(一般に「総当たり攻撃」と呼ばれる)がある。即ち、盗聴者は、多値信号が取り得る全ての信号点間に対する閾値を用意して同時判定を行い、当該判定結果を解析することにより、正しい鍵情報または情報データを抽出する。例えば、盗聴者は、図2に示した多値符号列のレベルc0/c1/c2/c3/c4/c5/c6を閾値として用いて、多値信号に対する多値判定を行うことにより、当該レベルを同定する。

【0031】

しかしながら、実際の伝送系では、種々の要因により雑音が発生し、これが変調信号に重畳されることによって、多値信号のレベルは、図4に示すように時間的・瞬時的に変動する。このような場合、正規受信者(データ受信装置10201)による2値判定動作における被判定信号のSN比(信号対雑音強度比)が、多値信号中の情報振幅と雑音量の比で決まるのに対して、盗聴者データ受信装置による多値判定動作における被判定信号のSN比は、多値信号のステップ幅と雑音量との比によって決まる。このため、被判定信号が有する雑音レベルが同一条件下においては、盗聴者データ受信装置における被判定信号のSN比が相対的に小さくなり、伝送特性(誤り率)が劣化することになる。即ち、第3者の全閾値による総当たり攻撃に対して識別誤りを誘発させて、盗聴を困難にすることができる。特に、多値信号のステップ幅を、当該雑音振幅(雑音強度分布の拡がり)に対して同オーダー、もしくは、より小さく設定すれば、第3者による多値判定を事実上不可能にし

10

20

30

40

50

て、理想的な盗聴防止を実現できる。

【 0 0 3 2 】

なお、上述のように被判定信号（多値信号、または変調信号）に重畳される雑音としては、変調信号に無線信号等の電磁波を用いた場合は、空間場や電子部品等が有する熱雑音（ガウス性雑音）を、光波を用いた場合は、熱雑音に加えて、光子が発生する際の光子数ゆらぎ（量子雑音）を、それぞれ利用できる。特に、量子雑音を伴った信号には、その記録や複製等の信号処理が適用できないことから、当該雑音量を基準に多値信号のステップ幅を設定することによって、第三者による盗聴を不可能として、データ通信の安全性を確保することができる。

【 0 0 3 3 】

以上説明したように、本実施形態によれば、伝送すべき情報データを多値信号として符号化し、当該信号点間距離を、当該雑音量に対して適切に設定することにより、第三者による盗聴時の受信信号品質に対して決定的な劣化を与えて、その解読・復号化を困難にする、安全なデータ通信装置を提供することができる。

【 0 0 3 4 】

（第2の実施形態）

図5は、本発明の第2の実施形態に係るデータ通信装置の構成を示すブロック図である。本図において、データ通信装置は、多値符号化部111と、変調部112と、伝送路110と、復調部211と、多値復号化部212と、第1のデータ反転部113と、第2のデータ反転部213とから構成され、図1の構成に対して、第1のデータ反転部113と、第2のデータ反転部213を新たに備える点が異なっている。また、多値符号化部111と、変調部112と、第1のデータ反転部113とで、データ送信装置10102を構成し、復調部211と、多値復号化部212と、第2のデータ反転部213とで、データ受信装置10202を構成する。以下に、本実施形態の動作を説明する。

【 0 0 3 5 】

本実施形態の構成は、前述の第1の実施形態（図1）に準ずるため、同一の動作を行うブロックに関しては、同一の参照符号を付して、その説明を省略し、相違点のみを説明する。その構成において、第1のデータ反転部113は、情報データが有する“0”と“1”の情報と、LowレベルとHighレベルとの対応関係を固定せず、所定の手順で当該対応関係を略ランダムに変更する。例えば、多値符号化部111と同様、所定の初期値に基づいて発生させた乱数系列（疑似乱数列）との排他的論理和XOR（Exclusive OR）演算を行い、その演算結果を多値符号化部111に出力する。第2のデータ反転部213は、第1のデータ反転部113と逆の手順で、多値復号化部212から出力されたデータが有する“0”と“1”の情報と、LowレベルとHighレベルとの対応関係を変更する。例えば、第2のデータ反転部213は、第1のデータ反転部113が備える初期値と同一の初期値を共有し、これに基づいて発生させた乱数のビット反転系列と多値符号化部212から出力されたデータとの排他的論理和演算を行い、その結果を情報データとして出力する。

【 0 0 3 6 】

以上説明したように、本実施形態によれば、伝送すべき情報データの反転を略ランダムに行うことにより、暗号としての多値信号の複雑性を大きくして、第三者による解読・復号化をさらに困難とし、より安全なデータ通信装置を提供することができる。

【 0 0 3 7 】

（第3の実施形態）

図6は、本発明の第3の実施形態に係るデータ通信装置の構成を示すブロック図である。図6において、データ通信装置は、多値符号化部111と、変調部112と、伝送路110と、復調部211と、多値復号化部212と、雑音制御部114とから構成され、図1の構成に対して、雑音制御部114を新たに備える点が異なっている。さらに、雑音制御部114は、雑音発生部114aと、合成部114bとからなる。また、多値符号化部111と、変調部112と、雑音制御部114とで、データ送信装置10103を構成し

10

20

30

40

50

、復調部 2 1 1 と、多値復号化部 2 1 2 とで、データ受信装置 1 0 2 0 1 を構成する。以下に、本実施形態の動作を説明する。

【 0 0 3 8 】

本実施形態の構成は、前述の第 1 の実施形態（図 1）に準ずるため、同一の動作を行うブロックに関しては、同一の参照符号を付して、その説明を省略し、相違点のみを説明する。雑音制御部 1 1 4 において、雑音発生部 1 1 4 a は、所定の雑音を発生する。合成部 1 1 4 b は、所定の雑音と多値信号 1 3 とを合成して、合成した信号を変調部 1 1 2 に出力する。即ち、雑音制御部 1 1 4 は、図 4 で説明した多値信号のレベル変動を故意に生じさせて、多値信号の S N 比を任意の値に制御し、これにより、多値識別部 2 1 2 b に入力する被判定信号の S N 比を制御する。なお、前述したように、雑音発生部 1 1 4 a で発生する雑音としては、熱雑音や量子雑音等が利用される。また、雑音が合成（重畳）された多値信号を雑音重畳多値信号 2 2 と呼ぶことにする。

10

【 0 0 3 9 】

以上説明したように、本実施形態によれば、伝送すべき情報データを多値信号として符号化し、その S N 比を任意に制御することにより、第三者による盗聴時の受信信号品質に対して決定的な劣化を故意に与え、その解読・復号化をさらに困難にする、より安全なデータ通信装置を提供することができる。

【 0 0 4 0 】

（第 4 の実施形態）

本発明の第 4 の実施形態に係るデータ通信装置の動作を説明する。本実施形態の構成は、前述の第 1 の実施形態（図 1）、または第 3 の実施形態（図 6）に準ずるため、構成図は省略する。第 4 の実施形態において、多値符号化部 1 1 1 は、図 7 に示すように、多値信号の各ステップ幅（S 1 ~ S 7）を、各レベルの変動量、即ち各レベルに重畳されている雑音強度分布に従い設定する。具体的には、多値識別部 2 1 2 b に入力する被判定信号の隣り合う 2 つの信号点間で決まる S N 比が略一致するように、当該信号点間距離を配分する。なお、各レベルに重畳される雑音量が等しい場合には、各ステップ幅を均等に設定する。

20

【 0 0 4 1 】

一般に、変調部 1 1 2 から出力される変調信号として、半導体レーザ（LD）を光源とする光強度変調信号を想定した場合、LD に入力する多値信号のレベルに依存して当該変動幅（雑音量）は変化する。これは、半導体レーザが自然放出光を「種光」とした誘導放出の原理に基づいて発光することに起因しており、その雑音量は、誘導放出光量に対する自然放出光量の相対比で定義されている。励起率（LD に注入するバイアス電流に対応）が高い程、誘導放出光量の割合が大きくなるため、その雑音量は小さく、逆に、励起率が低い程、自然放出光量の割合が大きく、雑音量は大きくなる。そこで、図 7 に示すように、多値信号のレベルが小さい領域ではステップ幅を大きく、レベルが大きい領域では小さく、非線形に設定することにより、被判定信号の隣り合う信号点間の S N 比を一致させる。

30

【 0 0 4 2 】

また、変調信号として光変調信号を利用した場合でも、上記の自然放出光による雑音や光受信器に用いる熱雑音が充分小さい条件下では、受信信号の S N 比は、主にショット雑音で決定される。当該条件下では、多値信号のレベルが大きい程、当該雑音量が大きくなるため、図 7 の場合とは逆に、多値信号のレベルが小さい領域ではステップ幅を小さく、レベルが大きい領域では大きく設定することにより、被判定信号の隣り合う信号点間の S N 比を一致させる。

40

【 0 0 4 3 】

以上説明したように、本実施形態によれば、伝送すべき情報データを多値信号として符号化し、当該多値信号の信号点間距離を略均一に配置し、あるいは、瞬時レベルに依らず隣り合う信号点間の S N 比を略均一に設定することにより、第三者による盗聴時の受信信号品質を常に劣化させ、その解読・復号化をさらに困難にする、より安全なデータ通信装

50

置を提供することができる。

【0044】

(第5の実施形態)

図8は、本発明の第5の実施形態に係るデータ通信装置の構成を示すブロック図である。図8において、データ通信装置は、データ送信装置10105とデータ受信装置10205とが伝送路110によって接続された構成である。データ送信装置10105は、第1の多値符号発生部156aのみが第1の実施形態と異なる。また、データ受信装置10205は、第2の多値符号発生部256aのみが第1の実施形態と異なる。

【0045】

図9は、第1の多値符号発生部156aの構成を示すブロック図である。図9において、第1の多値符号発生部156aは、乱数列生成部157と、第1の多値変換部158とを有する。乱数列生成部157は、第1の鍵情報11から2値乱数列を生成する。多値変換部158は、2値乱数列を多値符号列12に変換する。なお、第2の多値符号発生部256aの構成も第1の多値符号発生部156aと同じである。

【0046】

ここで、盗聴者による2値乱数列生成方法を特定する手法の1つとして、Berlekamp-Massey法(以下BM法と略す)と呼ばれるアルゴリズムが存在する。これは、 $2k$ ビット(k は2値乱数列の線形複雑度)の誤りのない2値乱数列から、当該2値乱数列の生成方法を特定するものである。従って、BM法による2値乱数列の生成方法の特定を防ぐためには、盗聴者が解読プロセスで得る2値乱数列中に、離散的な数多くの誤りを発生させることが望ましい。このような誤りの発生を実現する符号化方式として、まずは、誤りの個数を増加させる多値符号化方式について説明する。

【0047】

図10は、多値変換部158が2値乱数列を8値の多値符号列12に変換するためのマッピング(割当)方法の一例を示す図である。図10(a)は、2進数を10進数に変換する方式(以下では2進-10進符号化方式と表記)において、3ビットの2値ビット系列と多値レベルとの対応を示している。多値変換部158は、例えば、2値ビット系列“000”、“001”、“010”、・・・を、それぞれ“0”、“1”、“2”、・・・の多値レベルに変換する。

【0048】

ここで、多値レベルに付加される干渉成分(ガウス雑音など)の確率密度分布は、図10に示すように、送信者が送信した多値レベルをピークとした分布形状となることが多い。また、盗聴者が受信した多値レベルから発生する多値識別誤りは、隣接多値レベルへの識別誤りとなる確率が最も高くなる。この場合、盗聴者が多値符号列12から得る2値乱数列に対して誘発可能な誤りの個数は、隣接多値レベルに割当てられた2値ビット系列のハミング距離(すなわち、差異ビット数)(以下では、隣接多値レベル間ハミング距離と表記)でほぼ決定される。しかし、2進-10進符号化方式では、隣接多値レベル間ハミング距離が1(最小値)となる場合が多く、隣接多値識別誤りによって、2値乱数列に多くの誤りを誘発することは期待できない。

【0049】

上記課題を鑑みて、隣接多値レベル間ハミング距離を最大化する方式(以下ではMaximized Hamming distance(MH)符号化方式と表記)により、誤りの誘発効果を高める。図10(b)に示したMH符号化方式では、例えば、多値レベル“0”、“1”、“2”、・・・に対して、2値ビット系列“000”、“111”、“010”、・・・を対応させる。この方法により、隣接多値レベル間ハミング距離は、各多値レベルに割当てられた2値ビット系列長“3”と同等か、それよりも1小さい値“2”となり、平均的な隣接多値レベル間ハミング距離を増加することができる。このように、MH符号化方式を用いることで、盗聴者の2値乱数列により多くの誤りを誘発でき、解読に要する計算量を増加させることが可能となる。

【0050】

10

20

30

40

50

続いて、MH符号化方式での多値符号列12の生成アルゴリズムについて、図10(b)に示した8値の多値レベルマッピングを例に説明する。なお、ここに示す方法はあくまで一例であり、隣接多値レベル間ハミング距離を増加させる方法であれば、いかなる方法であっても構わない。また、以下では、多値レベル“0”、“1”、“2”、・・・、“i”、・・・に割当てて2値ビット系列を、 A_0 、 A_1 、 A_2 、・・・、 A_i 、・・・と表す。

【0051】

まず始めに、多値レベル“0”に割当てて2値ビット系列 A_0 を決定する。ここで割当てて2値ビット系列は任意であるが、一例として $A_0 = “000”$ とする。次に、多値レベル“1”について、 A_1 は $A_0 (= “000”)$ を全て反転した“111”とし、 $A_1 - A_0$ 間のハミング距離として、3(最大値)を確保する。

10

【0052】

続いて、多値レベル“2”について、 $A_2 - A_1$ 間のハミング距離を最大化するには、 $A_2 = “000”$ とすることが望ましいが、この2値ビット系列は A_0 と重複するため、別の割当て方法が必要である。そこで、 $A_2 - A_1$ 間のハミング距離が、2値ビット系列長よりも1小さい値である2となるように、 A_1 のうち2ビットを反転させた系列を A_2 に割当てる。ここでは一例として、 A_1 の1及び3ビット目を反転し、 $A_2 = “010”$ とする。

【0053】

次に、多値レベル“3”について、 A_3 は $A_2 (= “010”)$ を全て反転した“101”とし、 $A_3 - A_2$ 間のハミング距離として、3(最大値)を確保する。

20

【0054】

続いて、多値レベル“4”について、 $A_4 - A_3$ 間のハミング距離を最大化するには、 $A_4 = “010”$ とすることが望ましいが、この2値ビット系列は A_2 と重複するため、別の割当て方法が必要である。そこで、 $A_4 - A_3$ 間のハミング距離が、2値ビット系列長よりも1小さい値である2となるように、 A_3 のうち2ビットを反転させた系列を A_4 に割当てる。ここで、 A_3 の1及び3ビット目を反転させた場合、 A_0 と重複するため、ここでは一例として、 A_3 の2及び3ビット目を反転し、 $A_4 = “110”$ とする。

【0055】

次に、多値レベル“5”について、 A_5 は $A_4 (= “110”)$ を全て反転した“001”とし、 $A_5 - A_4$ 間のハミング距離として、3(最大値)を確保する。

30

【0056】

続いて、多値レベル“6”について、 $A_6 - A_5$ 間のハミング距離を最大化するには、 $A_6 = “110”$ とすることが望ましいが、この2値ビット系列は A_4 と重複するため、別の割当て方法が必要である。そこで、 $A_6 - A_5$ 間のハミング距離が、2値ビット系列長よりも1小さい値である2となるように、 A_5 のうち2ビットを反転させた系列を A_6 に割当てる。ここでは一例として、 A_5 の1及び3ビット目を反転し、 $A_6 = “100”$ とする。

【0057】

最後に、多値レベル“7”について、 A_7 は $A_6 (= “100”)$ を全て反転した“011”とし、 $A_7 - A_6$ 間のハミング距離として、3(最大値)を確保する。

【0058】

上記の方法により、全ての多値レベルに対して一意に対応し、かつ隣接多値レベル間ハミング距離が2値ビット系列長“3”、あるいはそれより1減じた2値ビット系列長“2”となる2値ビット系列を割当てることができる。

40

【0059】

また、上記の例で示したように、各多値レベルに割り当てられる2値ビット系列長がすべて同じであり、多値数が2のべき乗である場合には、多値レベルと2値ビット系列とのマッピング方法を、計算により求めることも可能である。下記では、この計算方法を説明するにあたって、まずは、反転ビット行列及び反転ビット系列を定義する。

【0060】

(式1)には、反転ビット行列 C_i (i は自然数)を定義する漸化式を示す。(式1)

50

に示すように、反転ビット行列 C_i は、それぞれ列数 “ i ”、行数 “ $2^i - 1$ ” の行列であり、このような漸化式に従って生成される。ここで、漸化式の初期値 C_1 を 1 とし、求めるべき反転ビット行列の多値数を M とした場合、反転ビット行列は $C_{\log_2 M}$ となる。(式 2) には、 $i = 1, 2, 3$ の場合の反転ビット行列 C_i の一例を示す。例えば、(式 2) に示すように、多値数が 8 ($M = 8$) の場合には、上述した漸化式に従って C_3 が算出される。ここで算出された C_3 の各行の要素 B_0, B_1, \dots, B_6 を反転ビット系列として定義する。

【数 1】

$$C_{n+1} = \begin{bmatrix} 1 & & & & & & \\ \vdots & & & & & & \\ 1 & & & & & & \\ 0 & 1 & 1 & \dots & 1 & & \\ \vdots & & & & & & \\ 1 & & & & & & \\ \vdots & & & & & & \\ 1 & & & & & & \end{bmatrix} \dots \text{(式 1)}$$

【数 2】

$$C_1 = [1]$$

$$C_2 = \begin{bmatrix} 1 & 1 \\ 0 & 1 \\ 1 & 1 \end{bmatrix} \dots \text{(式 2)}$$

$$C_3 = \begin{bmatrix} 1 & 1 & 1 \\ 1 & 0 & 1 \\ 1 & 1 & 1 \\ 0 & 1 & 1 \\ 1 & 1 & 1 \\ 1 & 0 & 1 \\ 1 & 1 & 1 \end{bmatrix} = \begin{bmatrix} B_0 \\ B_1 \\ B_2 \\ B_3 \\ B_4 \\ B_5 \\ B_6 \end{bmatrix}$$

【0061】

続いて、図 11 には、MH 符号化方式において、各多値レベルに割り当てる 2 値ビット系列と反転ビット系列との対応関係を示す。ここで、 $EXOR(A, B)$ を、2 値ビット系列 A 及び B の排他的論理和演算と表現とした場合、図 11 に示すように、8 値の多値レベルに対してそれぞれ割り当てられる 2 値ビット系列 $A_0 \sim A_7$ は、(式 3) に示す関係で定義される。ここで、 A_0 は初期値として、任意の 2 値ビット系列を割り当てることが可能であるが、例えば $A_0 = "000"$ とすれば、図 10 (b) に示した MH 符号化方式の 2 値ビット系列と同等のマッピング方法を導出することが可能となる。

【数 3】

$$A_{i+2} = EXOR(A_i, B_i) \dots \text{(式 3)}$$

【0062】

10

20

30

40

50

上記に示した方法により、盗聴者の多値識別誤りが、2値乱数列に対して誘発する誤りの個数を増加させることが可能となり、2値乱数列の特定を困難化することができる。

【0063】

なお、上述したMH符号化に従った多値符号列12の生成は、一例として、予めメモリなどに記憶された2値乱数列と多値符号列12との対応関係に基づいて、2値乱数列から多値符号列12を生成する方法が考えられる。また、その他の例として、多値変換部158は、以下に示す構成に従って、多値符号列12を生成することもできる。

【0064】

図12は、多値変換部158の詳細な構成の一例を示すブロック図である。図12を参照して、多値変換部158は、シリアル-パラレル変換部1581と、符号変換部1582と、D/A変換部1583とから構成される。シリアル-パラレル変換部1581は、入力された2値乱数列をシリアル-パラレル変換して出力する。図13は、シリアル-パラレル変換部1581の具体的な構成の一例を示す図である。シリアル-パラレル変換部1581は、例えば図13に示すように、シリアルポートに入力された2値乱数列を、パラレルポートのLSB側からMSB側に向けて1ビットずつ順に出力し、MSBに達した次のビットを再びLSB側から順に出力する。なお、パラレルポートのポート数mは $\log_2 M$ (Mは多値符号列12の多値数)とする。ここで、パラレルポートのLSB側から順に、パラレルポート番号#1、#2、・・・#mとした場合、シリアルポートに入力されるi番目の2値乱数列は、パラレルポート番号#(mod(i-1, m) + 1)から出力される。ただし、mod(a, b)はaをbで割ったときの余りである。

10

20

【0065】

図14は、符号変換部1582の構成の一例を示すブロック図である。符号変換部1582は、例えば図14に示すように、入力ポート(ポート数:m)に入力された2値乱数列を、EXOR素子によって変換し、出力ポート(ポート数:m)から出力する。なお、図14には、一例として多値数(M=16)の場合を示しており、入力ポート、出力ポートのポート数mは4となる。ここで、LSB側からi番目の入力ポートに入力される符号を X_i 、LSB側からj番目の出力ポートに出力される符号を Y_j とする。

【0066】

このとき、入力 $X_1 \sim X_4$ に対して、出力 $Y_1 \sim Y_4$ が、 $Y_1 = X_1$ 、 $Y_2 = \text{EXOR}(X_1, X_2, X_3)$ 、 $Y_3 = \text{EXOR}(X_1, X_3, X_4)$ 、 $Y_4 = \text{EXOR}(X_1, X_4)$ となるように論理演算を行う。この論理演算を一般化すると、多値数が2(ポート数m=1)の場合は $Y_1 = X_1$ (変換なし)、多値数が4(ポート数=2)の場合は $Y_1 = X_1$ 、 $Y_2 = \text{EXOR}(X_1, X_2)$ 、多値数が8以上の2のべき乗数(ポート数m:3以上)の場合は、 2^i (m-1)を満たす整数iに対して、 $Y_1 = X_1$ 、 $Y_i = \text{EXOR}(X_1, X_i, X_{i+1})$ 、 $Y_m = \text{EXOR}(X_1, X_m)$ となる。

30

【0067】

D/A変換部1583は、符号変換された2値乱数列をD/A変換し、多値符号列12として出力する。例えば、D/A変換部1583は、m個の入力ポートと1つの出力ポートとを有しており、LSB側からi番目のポートへの入力をそれぞれ 2^{i-1} 倍した後、これら全てを加算した結果を出力する。以上の構成により、多値変換部158は、EXOR素子を利用して、MH符号を生成することが可能となる。なお、MH符号の生成方法は上記に限るものではない。

40

【0068】

また、多値変換部158は、(式4)に示すように、 $(2^n - 1)$ 行 \times n列の反転ビット行列 C_n を、 $(2^n - 1)$ 行 \times k列の行列 C_n' と、 $(2^n - 1)$ 行 \times (n-k)列の行列 C_n'' (kは1以上、(n-1)以下の任意の整数)とに分け、(式5)に示す漸化式を用いて、反転ビット行列を算出してもよい。

【数4】

$$C_n = \left\{ \begin{array}{c} \underbrace{C'_n}_{k\text{列}} \quad \underbrace{C''_n}_{(n-k)\text{列}} \\ \vdots \\ \underbrace{C'_n}_{k\text{列}} \quad \underbrace{C''_n}_{(n-k)\text{列}} \end{array} \right\} \quad (2^n - 1)\text{行} \quad \dots \quad (\text{式4})$$

【数5】

$$C_{n+1} = \left\{ \begin{array}{c} \left[\begin{array}{c|c|c} & 1 & \\ C'_n & \vdots & C''_n \\ & 1 & \\ \hline 1 \cdots 1 & 0 & 1 \cdots 1 \\ \hline & 1 & \\ C'_n & \vdots & C''_n \\ & 1 & \end{array} \right] \\ \vdots \\ \left[\begin{array}{c|c|c} & 1 & \\ C'_n & \vdots & C''_n \\ & 1 & \end{array} \right] \end{array} \right\} \quad \dots \quad (\text{式5})$$

k列 1列 (n-k)列

10

20

【0069】

以上のように、本実施形態によれば、隣接多値レベルに割当ててる2値ビット系列のハミング距離を増加させることにより、盗聴者が受信した2値乱数列に対して、より多くの誤りを誘発できる。このため、2値乱数列を生成するのに必要な初期値（すなわち鍵情報）を盗聴者が特定することが極めて困難となり、多値信号の多値数が比較的少ない場合でも高い秘匿性を確保することが可能となる。

【0070】

（第6の実施形態）

第5の実施形態において説明した方法により、盗聴者が得る2値乱数列に含まれる誤りの個数を増加させることが可能である。しかし、BM法などによる解読を防ぐためには、誤りの個数増加に加えて、さらに、誤りを離散化させることが望ましい。

30

【0071】

本実施形態では、誤りを離散化させる方法について、第1の実施形態に示した構成を元に、差分を重点的に説明する。

【0072】

図15は、本発明の第6の実施形態に係るデータ通信装置の構成を示すブロック図である。図15において、データ通信装置は、データ送信装置10106とデータ受信装置10206とが伝送路110によって接続された構成である。データ送信装置10106は、第1の多値符号発生部166aのみが第1の実施形態と異なる。データ受信装置10206は、第2の多値符号発生部266aのみが第1の実施形態と異なる。

40

【0073】

図16は、第1の多値符号発生部166aの構成を示すブロック図である。図16において、第1の多値符号発生部166aは、乱数列生成部167と、インターリーブ部168と、多値変換部169とを有する。乱数列生成部167は、第1の鍵情報11から第1の2値乱数列を生成する。インターリーブ部168は、第1の2値乱数列をビットインターリーブし、第2の2値乱数列として出力する。多値変換部169は、第2の2値乱数列を多値符号列12に変換する。

【0074】

この場合、盗聴者が、乱数列生成部167の乱数列生成方法を特定するためには、多値

50

信号 13 を使用されている多値符号化方式に基づいて 2 値化し、第 2 の 2 値乱数列を得た上で、送信者及び正規受信者がインターリーブ部 168 で行うビットインターリーブとは逆の作業（逆インターリーブ）を行って、第 1 の 2 値乱数列を得ることが必要となる。

【0075】

図 17 には、盗聴者が受信した多値信号 13 において、多値識別誤りが同じ位置に発生した場合に得られる 2 値乱数列の誤り分布（評価例）を示す。図 17 (a) を参照して、2 進 - 10 進符号化方式（インターリーブなし）の場合には、2 値乱数列に含まれる誤りの個数が少なく、長周期の誤りフリー区間が数多く存在している。従って、BM 法などにより即座に 2 値乱数列の生成方法を特定される可能性が高いと考えられる。続いて、図 17 (b) を参照して、MH 符号化方式（インターリーブなし）の場合には、誤りの個数が増加しているが、誤りが局在化しており、依然として長周期の誤りフリー区間が多数存在している。従って、BM 法などにより 2 値乱数列の生成方法を特定される可能性があると考えられる。図 17 (c) を参照して、MH 符号化に、本実施例で示すインターリーブを併用した場合には、図 17 (b) で示すような局在化した誤りが離散化され、誤りフリー区間が大幅に減少している。従って、MH 符号化とインターリーブの併用により、BM 法などによる解読耐性を高めることが可能となる。

【0076】

図 18 は、インターリーブ行数と解読計算量との関係を示す図である。図 18 のグラフは、2 値乱数列の線形複雑度を 10、多値数を 256、インターリーブ行数を 1 とした場合の所要受信ビット数を基準に、インターリーブ行数を変更した場合の所要受信ビット数の比率を解読計算量として示している。図 18 に示すように、多値数が 16 ($= 2^4$) の場合はインターリーブ行数が 4 以上、多値数が 256 ($= 2^8$) の場合はインターリーブ行数が 8 以上で、解読計算量は飽和する特性を有する。すなわち、インターリーブ部 168 は、インターリーブ行数を各多値レベルに割り当てる 2 値ビット系列長以上に設定すれば、解読計算量を最大化することが可能となる。

【0077】

図 19 は、インターリーブ列数と解読計算量との関係を示す図である。図 19 に示すグラフは、2 値乱数列の線形複雑度を 5、多値数を 256、インターリーブ列数を 1 とした場合の所要受信ビット数を基準に、インターリーブ列数を変更した場合の所要受信ビット数の比率を解読計算量として示している。図 19 に示すように、線形複雑度が 5 の場合はインターリーブ列数が 10 以上、線形複雑度が 10 の場合はインターリーブ列数が 20 以上で、解読計算量が飽和する特性を有する。すなわち、インターリーブ部 168 は、インターリーブ列数を線形複雑度の 2 倍以上に設定すれば、解読計算量を最大化することが可能となる。

【0078】

なお、第 5 及び第 6 の実施形態は、第 1 ~ 第 4 の実施形態に適用することができる。また、第 1 ~ 6 の実施形態に係るデータ通信装置は、データ通信を行うための方法としても捉えることができる。

【産業上の利用可能性】

【0079】

本発明に係るデータ通信装置は、盗聴・傍受等に対して安全な秘密通信装置等として有用である。

【図面の簡単な説明】

【0080】

【図 1】本発明の第 1 の実施形態に係るデータ通信装置の構成を示すブロック図

【図 2】本発明の第 1 の実施形態に係るデータ通信装置の伝送信号波形を説明する模式図

【図 3】本発明の第 1 の実施形態に係るデータ通信装置の伝送信号波形の呼称を説明する模式図

【図 4】本発明の第 1 の実施形態に係るデータ通信装置の伝送信号品質を説明する模式図

【図 5】本発明の第 2 の実施形態に係るデータ通信装置の構成を示すブロック図

10

20

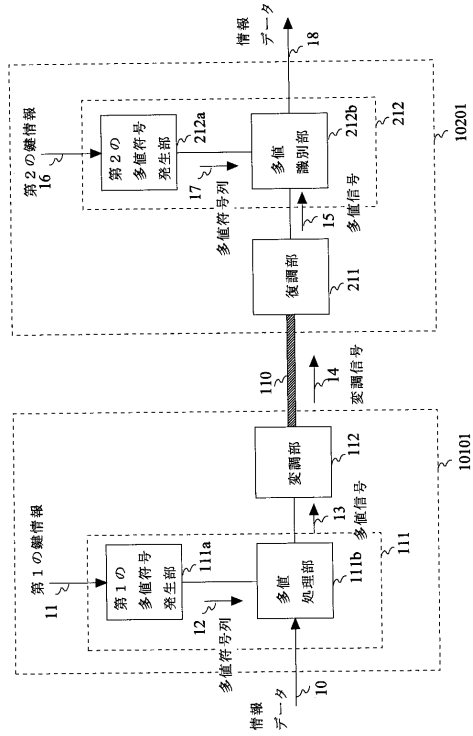
30

40

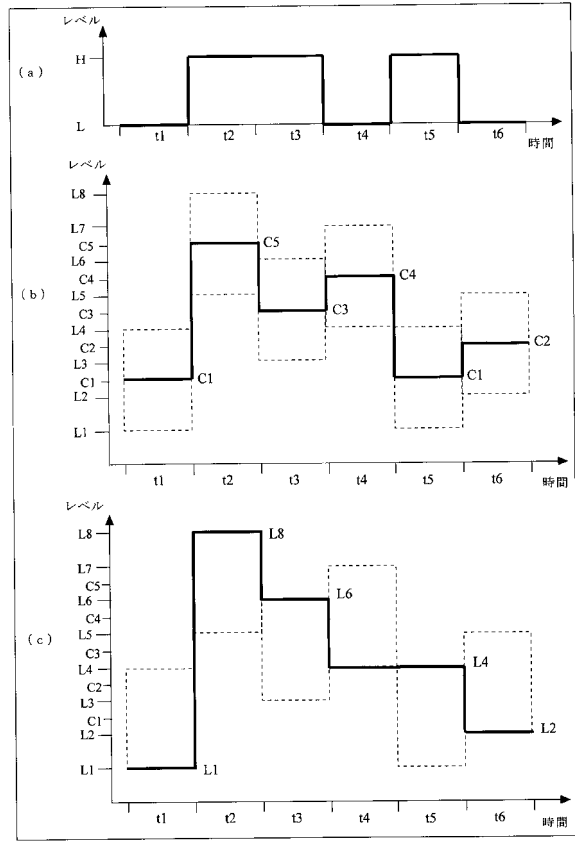
50

- 【図6】本発明の第3の実施形態に係るデータ通信装置の構成を示すブロック図
- 【図7】本発明の第4の実施形態に係るデータ通信装置の伝送信号パラメータを説明する模式図
- 【図8】本発明の第5の実施形態に係るデータ通信装置の構成を示すブロック図
- 【図9】第1の多値符号発生部156aの構成を示すブロック図
- 【図10】多値変換部158が2値乱数列を8値の多値符号列12に変換するためのマッピング(割当)方法の一例を示す図
- 【図11】MH符号化方式において、各多値レベルに割り当てる2値ビット系列と反転ビット系列との対応関係を示す図
- 【図12】多値変換部158の詳細な構成の一例を示すブロック図 10
- 【図13】シリアル-パラレル変換部1581の具体的な構成の一例を示す図
- 【図14】符号変換部1582の構成の一例を示すブロック図
- 【図15】本発明の第6の実施形態に係るデータ通信装置の構成を示すブロック図
- 【図16】第1の多値符号発生部166aの構成を示すブロック図
- 【図17】多値識別誤りが同じ位置に発生した場合に得られる2値乱数列の誤り分布を示す図
- 【図18】インターリーブ行数と解読計算量との関係を示す図
- 【図19】インターリーブ列数と解読計算量との関係を示す図
- 【図20】従来のデータ送信装置の構成を示すブロック図
- 【符号の説明】 20
- 【0081】
- 10101, 10102, 10103, 10105, 10106 データ送信装置
- 110 伝送路
- 111 多値符号化部
- 111a 第1の多値符号発生部
- 111b 多値処理部
- 112 変調部
- 113 第1のデータ反転部
- 114 雑音制御部
- 114a 雑音発生部 30
- 114b 合成部
- 156a, 256a 多値符号発生部
- 157 乱数列生成部
- 158 多値変換部
- 1581 シリアル-パラレル変換部
- 1582 符号変換部
- 1583 D/A変換部
- 166a、266a 多値符号発生部
- 167 乱数列生成部
- 168 インターリーブ部 40
- 169 多値変換部
- 10201, 10202, 10205, 10206 データ受信装置
- 211 復調部
- 212 多値復号化部
- 212a 第2の多値符号発生部
- 212b 多値識別部
- 213 第2のデータ反転部

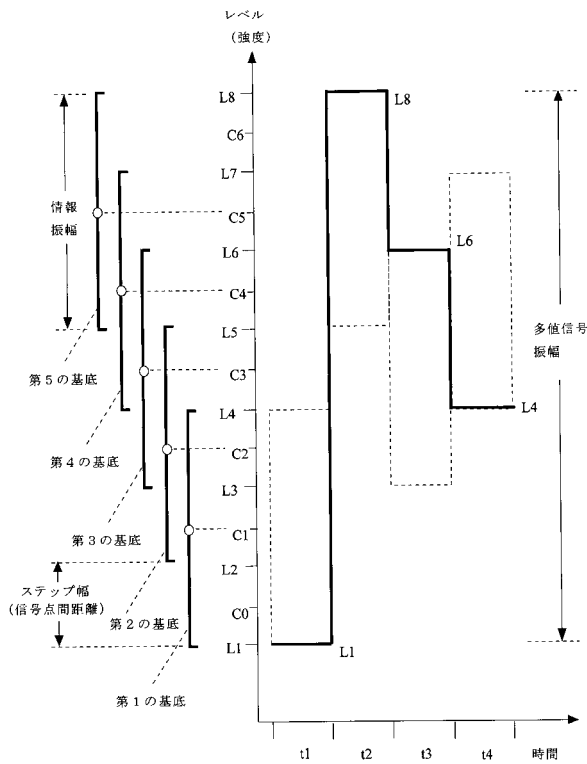
【図1】



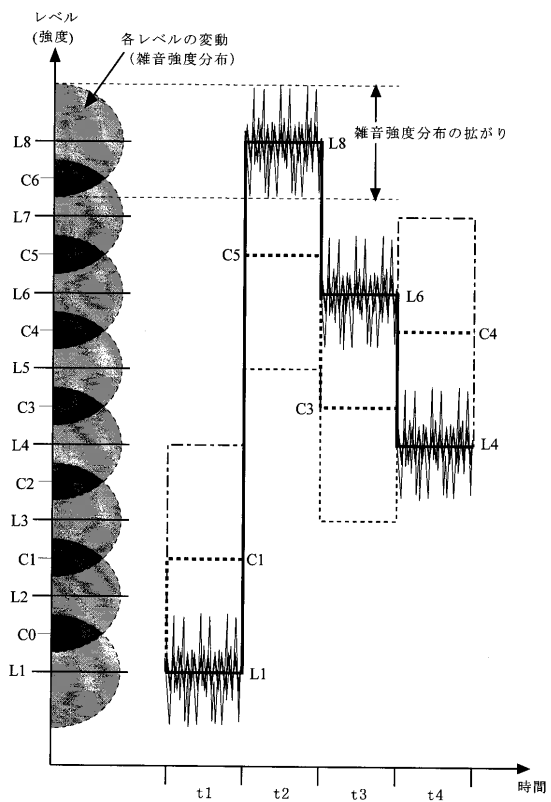
【図2】



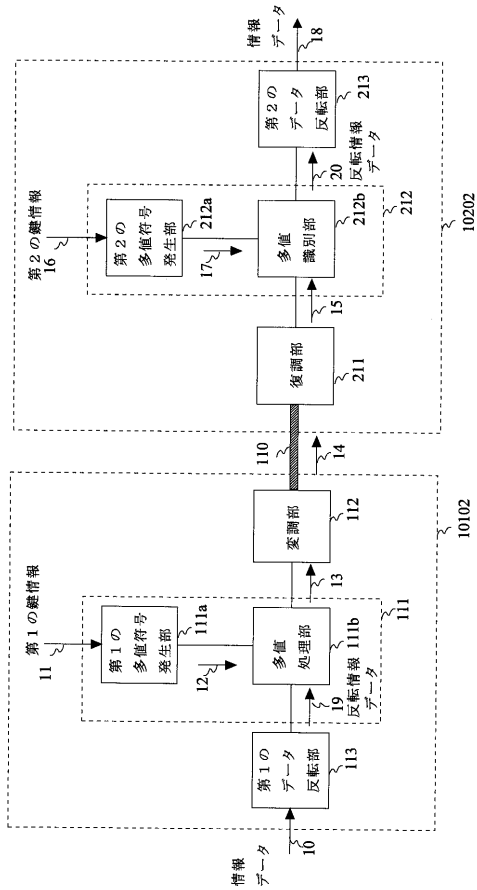
【図3】



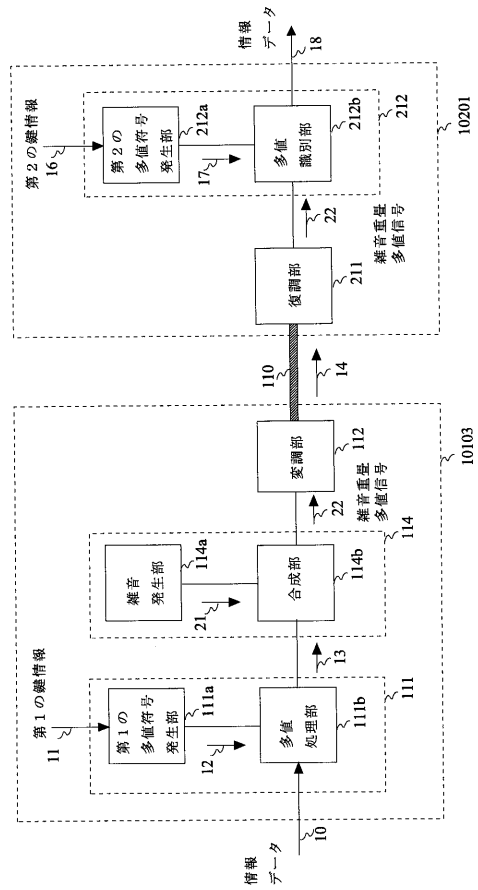
【図4】



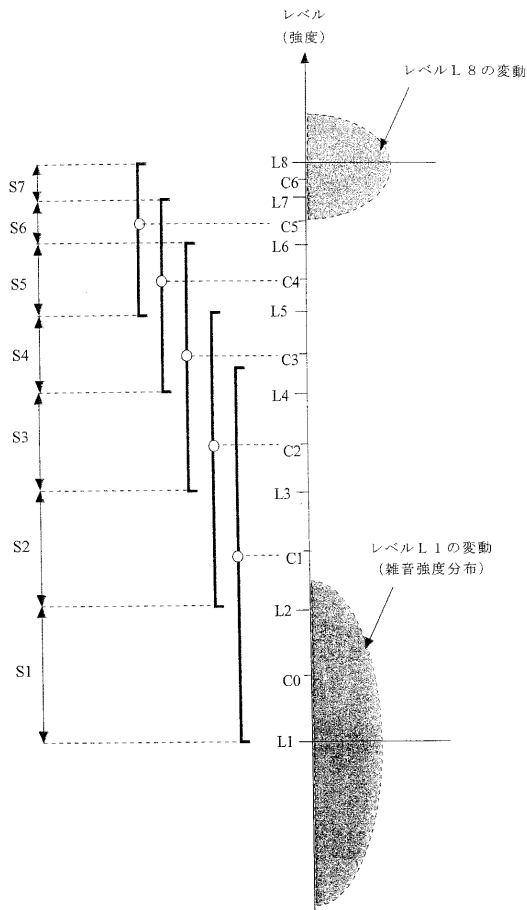
【図5】



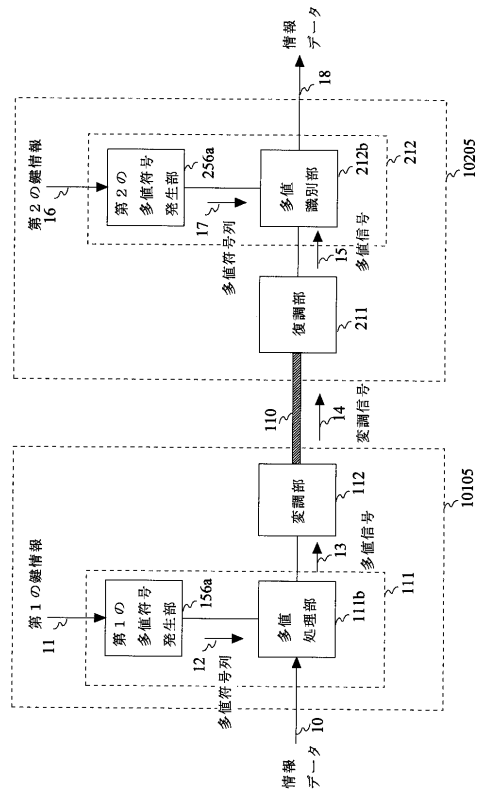
【図6】



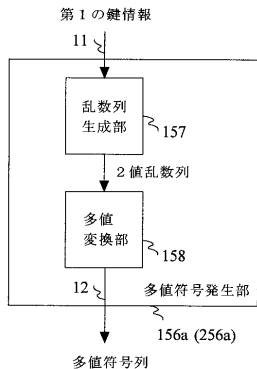
【図7】



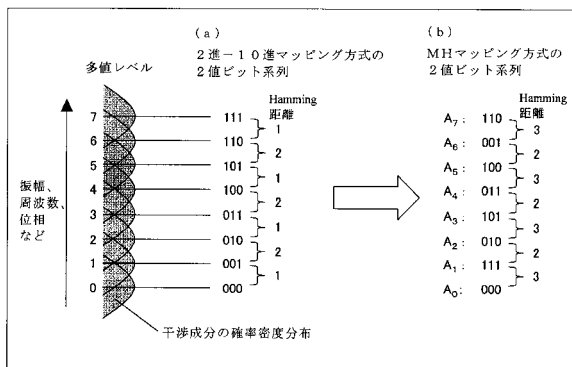
【図8】



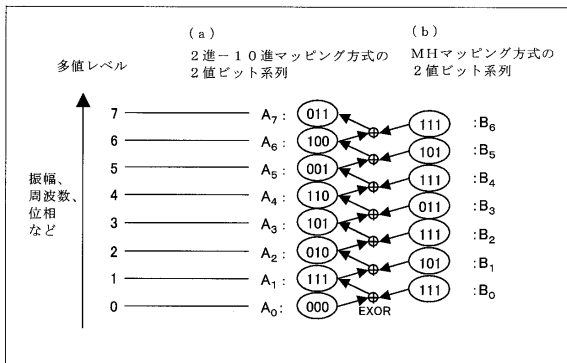
【図9】



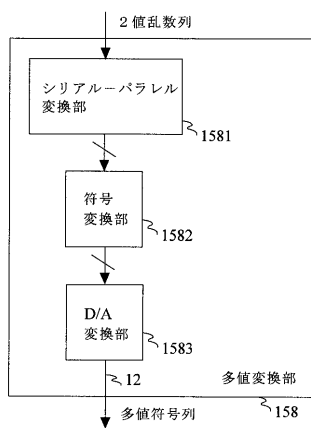
【図10】



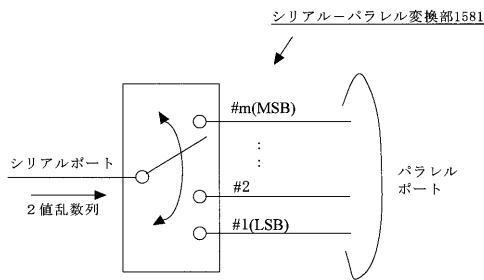
【図11】



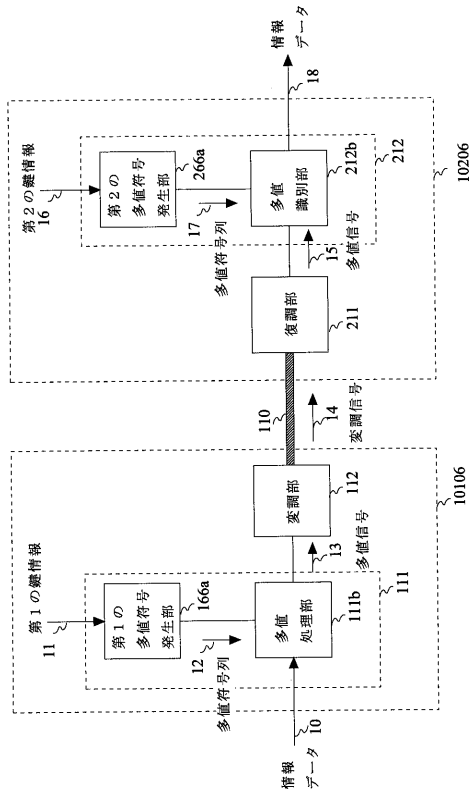
【図12】



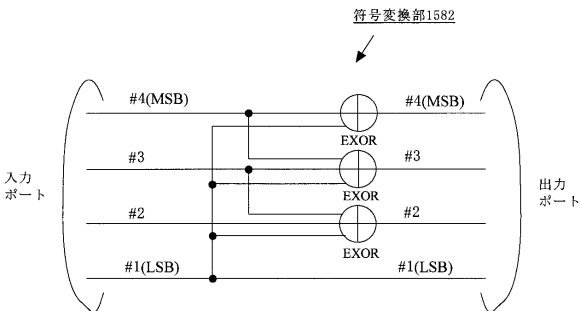
【図13】



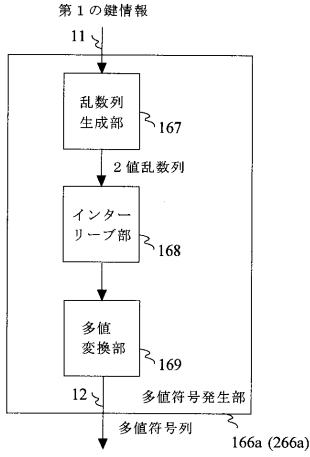
【図15】



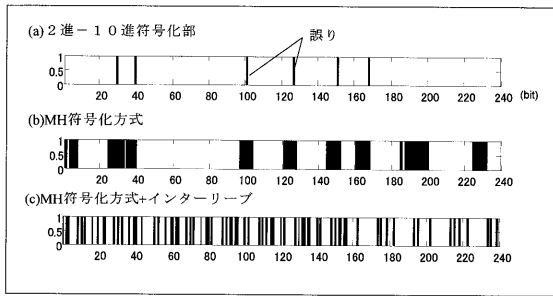
【図14】



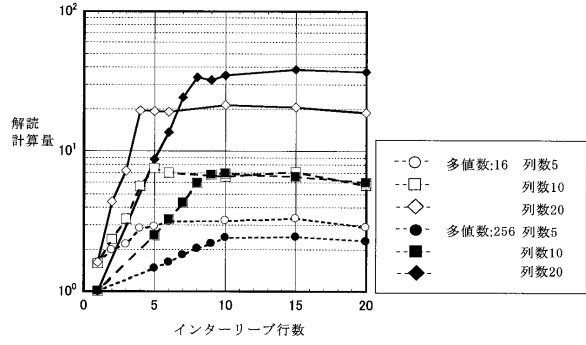
【図16】



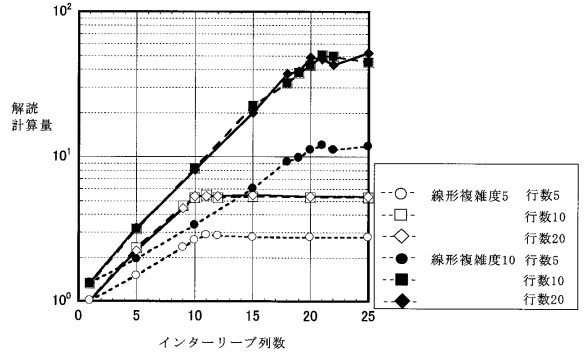
【図17】



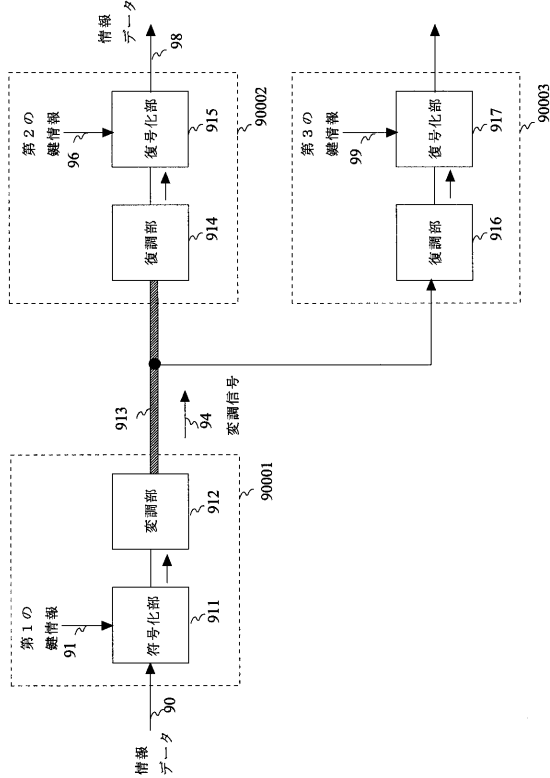
【図18】



【図19】



【図20】



フロントページの続き

(72)発明者 生島 剛

大阪府門真市大字門真1006番地 松下電器産業株式会社内

審査官 中里 裕正

(56)参考文献 特開平10-327141(JP,A)

特開2002-111660(JP,A)

特開2005-57313(JP,A)

生島 剛 Tsuyoshi Ikushima, 電子情報通信学会2005年通信ソサイエティ大会講演論文集
2 PROCEEDINGS OF THE 2005 IEICE COMMUNICATIONS SOCIETY CONFERENCE

広田 修 Osamu HIROTA, 光通信量子暗号Y-00への攻撃は真の攻撃か? Part II Are attacks on Y-00(Optical Communication Quantum Cryptography) the true attacks? Part-II, 電子情報通信学会技術研究報告 Vol.105 No.290 IEICE Technical Report, 日本, 社団法人電子情報通信学会 The Institute of Electronics, Information and Communication Engineers, 第105巻

今福 健太郎 Kentaro IMAFUKU, Y-00プロトコルが古典的なストリーム暗号と等価である
ことについて Critical cryptanalysis for Y-00, 電子情報通信学会技術研究報告 Vol.
105 No.194 IEICE Technical Report, 日本, 社団法人電子情報通信学会 The Inst
itute of Electronics, Information and Communication Engineers, 第105巻

広田 修 Osamu HIROTA, 光通信量子暗号(Y-00)への攻撃は真の攻撃か? Part
I Are attacks on Y-00 (Optical Communication Quantum Cryptography) the true attacks?
Part-I, 電子情報通信学会技術研究報告 Vol.104 No.732 IEICE Technical R
eport, 日本, 社団法人電子情報通信学会 The Institute of Electronics, Information and Co
mmunication Engineers, 第104巻

(58)調査した分野(Int.Cl., DB名)

H04K 1/00

H04L 9/20

JSTPlus/JMEDPlus/JST7580(JDreamII)